

PROGETTO

**PROGETTO DEFINITIVO PER LA REALIZZAZIONE DI UN
PARCO EOLICO DENOMINATO "STORNARA NORD"
NEL COMUNE DI STORNARA (FG)**

TITOLO

RELAZIONE IMPATTO ELETTROMAGNETICO

PROGETTAZIONE	PROPONENTE	VISTI
<p>M&M ENGINEERING S.r.l. Sede Operativa: Via I Maggio, n.4 71045 Orta Nova (FG) - Italy tel./fax (+39) 0885791912 - ing.marianomarseglia@gmail.com</p> <p>Tecnico: ing. Mariano Marseglia</p> <p>Collaborazioni: ing. Giovanna Scuderi ing. Dionisio Staffieri ing. Giuseppe Federico Zingarelli ing. Anna Maria Campanella geom. Francesco Mangino geom. Claudio A. Zingarelli</p> <p>Responsabile Commessa: ing. Mariano Marseglia</p>	<p>INERGIA S.p.a.</p> <p>UNI EN ISO 9001: 2015 UNI EN ISO 14001: 2015 BS OHSAS 18001: 2007</p>  <p>Sede Operativa: Via Cola D'Amatrice n.1 63100 ASCOLI PICENO Tel.: 0736/342490 Fax: 0736/341243</p> <p>Sede legale: Via Arno n.21 00198 ROMA Tel.: 06/97746380 Fax: 06/97746381</p> <p>www.inergia.it e-mail: info@inergia.it PEC: direzione.inergia@legalmail.it</p>	

DATI PROGETTAZIONE

Cod. Progetto 04EOL-2018	Commessa 180FN-0137	

Scala -	Formato Stampa A4	Cod. Elaborato EO-SND-PD-SIA-18	Rev. a	Nome File EO-SND.PD-SIA-18 – Relazione Impatto Elettromagnetico.doc	Elaborato 1	Foglio 1 di 30
------------	-----------------------------	-------------------------------------------	------------------	---------------------------------------------------------------------------	-----------------------	--------------------------

Rev.	Data	Descrizione	Elaborato	Controllato	Approvato
a	15/06/2019	Prima Emissione	M. Marseglia	A. Corradetti	R. Cairoli

Indice

1. PREMESSA.....	2
2. NORME E DOCUMENTAZIONE DI RIFERIMENTO.....	2
3. INQUADRAMENTO NORMATIVO.....	3
4. DESCRIZIONE DELL'IMPIANTO	5
4.1 Generalità	5
4.2 Linee di distribuzione in MT.....	6
4.3 Stazione elettrica di utenza 30/150 kV	7
4.4 Quadro MT di stazione elettrica.....	7
5. METODOLOGIA DI CALCOLO MAGNETICO.....	7
5.1 Definizioni.....	7
5.2 Distanza di prima approssimazione (Dpa).....	8
5.3 Cenni teorici sul modello utilizzato	8
5.4 Metodo di calcolo	9
6. METODOLOGIA DI CALCOLO CAMPO ELETTRICO	9
6.1 Cenni teorici.....	9
7. CAMPI ELETTROMAGNETICI AEROGENERATORE	10
7.1 Interferenze elettromagnetiche.....	10
7.2 Cabina trasformazione MT/BT	10
8. LINEA IN CAVO INTERRATO IN MT.....	11
8.1 Determinazione dei campi magnetici.....	11
8.2 Determinazione della distanza di prima approssimazione (DPA).....	25
9. STAZIONE ELETTRICA AT/MT E CABINA MT DI STAZIONE.....	25
10. CONCLUSIONI.....	30

1. PREMESSA

La presente relazione tecnica è relativa alla redazione del progetto per la realizzazione di un parco eolico proposto dalla società INERGIA S.p.A. con sede legale in Roma, Via Arno n. 21.

La proposta progettuale è finalizzata alla realizzazione di un impianto eolico per la produzione di energia elettrica da fonte rinnovabile eolica, costituito da 11 aerogeneratori, ciascuno di potenza nominale pari a 5,6 MW per una potenza complessiva di 61,60 MW, da realizzarsi nella Provincia di Foggia, nel territorio comunale di Stornara, in cui insistono gli aerogeneratori e le opere di connessione alla RTN.

Più in dettaglio l'impianto eolico presenta:

- 11 aerogeneratori ad asse orizzontale da 5,6 MW con l'obiettivo di realizzare una centrale di potenza complessiva pari a 61,60 MW;
- 11 cabine di trasformazione poste all'interno delle torri;
- Un cavidotto in cavo sotterraneo in media tensione (30 kV) per il collegamento tra il gruppo di aerogeneratori denominato cavidotto interno;
- Un cavidotto in cavo sotterraneo in media tensione (30 kV) per il collegamento tra gli aerogeneratori e la stazione di trasformazione denominato cavidotto esterno;
- Realizzazione di una sottostazione utente AT/MT in adiacenza alla esistente Stazione Terna si smistamento 150 kV denominata "Stornara".

La soluzione di connessione alla RTN per l'impianto eolico (cod.201900224) è stata fornita con comunicazione Terna del 12/06/2019 Prot. TERNA/P2019 0042457 e prevede che la centrale venga collegata a 150 kV con la Stazione Elettrica (SE) RTN 150 kV di Stornara, mediante gli impianti esistenti della società Parco Eolico Stornara S.r.l.

La relazione è stata redatta al fine di determinare i valori di campo elettrico e campo magnetico attesi (calcolo previsionale) e la valutazione degli effetti ambientali conseguenti ai sensi della legge 36/01 e DPCM 08/07/2003.

2. NORME E DOCUMENTAZIONE DI RIFERIMENTO

- Legge 22 febbraio 2001, n. 36 "Legge quadro sulla protezione dalle esposizioni a campi elettrici, magnetici ed elettromagnetici".
- DPCM 8 luglio 2003 "Fissazione dei limiti di esposizione, valori di attenzione ed obiettivi di qualità per la protezione della popolazione dalle esposizioni ai campi elettrici e magnetici alla frequenza di rete (50 Hz) generati dagli elettrodotti".

- DM 29 maggio 2008, GU n. 156 del 5 luglio 2008, “Approvazione della metodologia di calcolo per la determinazione delle fasce di rispetto degli elettrodotti”.
- "Metodologia di calcolo per la determinazione delle fasce di rispetto degli elettrodotti" APAT.
- CEI 11-17 “Impianti di produzione, trasmissione, distribuzione pubblica di energia elettrica - Linee in cavo”.
- CEI 20-21 “Calcolo della portata di corrente” (IEC 60287).
- CEI 106-11 “Guida per la determinazione delle fasce di rispetto per gli elettrodotti secondo le disposizioni del DPCM 8 luglio 2003 (Art. 6). Parte I”.
- "La protezione dai campi elettromagnetici" - Edizione TNE.
- "Inquinamento elettromagnetico" - P. Bevitori et al. - Maggioli Editore.
- "La valutazione dell'inquinamento elettromagnetico" - Edizione Maggioli Editore.
- Documento di progetto: Elaborato - “EO-SND-PD-OCV-15 “Calcolo Preliminari impianti”.
- Documento di progetto: Elaborato - “EO-SND-PD-OEL-06 “Planimetria elettromeccanica”.
- Documento di progetto: Elaborato - “EO-SND-PD-OEL-08 “Schema unifilare impianto eolico”.

3. INQUADRAMENTO NORMATIVO

La normativa nazionale per la tutela della popolazione dagli effetti dei campi elettromagnetici disciplina separatamente le basse frequenze (es. elettrodotti) e le alte frequenze (es. impianti radiotelevisivi, stazioni radiobase, ponti radio).

Il 14 febbraio 2001 è stata approvata dalla Camera dei deputati la legge quadro sull'inquinamento elettromagnetico (L.36/01). In generale il sistema di protezione dagli effetti delle esposizioni agli inquinanti ambientali distingue tra:

Allegato A1. Effetti acuti (o di breve periodo), basati su una soglia, per cui si fissano limiti di esposizione che garantiscono - con margini cautelativi - la non insorgenza di tali effetti;

Allegato B1. Effetti cronici (o di lungo periodo), privi di soglia e di natura probabilistica (all'aumentare dell'esposizione aumenta non l'entità ma la probabilità del danno), per cui si fissano livelli operativi di riferimento per prevenire o limitare il possibile danno complessivo.

È importante dunque distinguere il significato dei termini utilizzati nelle leggi (riportiamo nella tabella 1 le definizioni inserite nella legge quadro).

Tabella 1: Definizioni di limiti di esposizione, di valori di attenzione e di obiettivi di qualità secondo la legge quadro.

Limiti di esposizione	Valori di CEM che non devono essere superati in alcuna condizione di esposizione, ai fini della tutela dagli effetti acuti.
Valori di attenzione	Valori di CEM che non devono essere superati negli ambienti abitativi, scolastici e nei luoghi adibiti a permanenze prolungate. Essi costituiscono la misura di cautela ai fini della protezione da possibili effetti di lungo periodo.
Obiettivi di qualità	Valori di CEM causati da singoli impianti o apparecchiature da conseguire nel breve, medio e lungo periodo, attraverso l'uso di tecnologie e metodi di risanamento disponibili. Sono finalizzati a consentire la minimizzazione dell'esposizione della popolazione e dei lavoratori ai CEM anche per la protezione da possibili effetti di lungo periodo.

La normativa di riferimento in Italia per le linee elettriche è il DPCM del 08/07/2003 (G.U. n. 200 del 29.08.2003) "Fissazione dei limiti massimi di esposizione, dei valori di attenzione e degli obiettivi di qualità per la protezione della popolazione dalle esposizioni ai campi elettrici e magnetici generati alla frequenza di rete (50 Hz) generati dagli elettrodotti"; tale decreto, per effetto di quanto fissato dalla legge quadro sull'inquinamento elettromagnetico, stabilisce:

Allegato C1. I limiti di esposizione, i valori di attenzione e gli obiettivi di qualità per la tutela della salute della popolazione nei confronti dei campi elettromagnetici generati a frequenze non contemplate dal D.M. 381/98, ovvero i campi a bassa frequenza (ELF) e a frequenza industriale (50 Hz);

Allegato D1. I limiti di esposizione, i valori di attenzione e gli obiettivi di qualità per la tutela della salute dei lavoratori professionalmente esposti nei confronti dei campi elettromagnetici generati a frequenze comprese tra 0 Hz e 300 GHz (esposizione professionale ai campi elettromagnetici);

Allegato E1. Le fasce di rispetto per gli elettrodotti.

Relativamente alla definizione di limiti di esposizione, valori di attenzione e obiettivi di qualità per l'esposizione della popolazione ai campi di frequenza industriale (50 Hz) relativi agli elettrodotti, il DPCM 08/07/03 propone i valori descritti in tabella 2, confrontati con la normativa europea.

Tabella 2: Limiti di esposizione, limiti di attenzione e obiettivi di qualità del DPCM 08/07/03, confrontati con i livelli di riferimento della Raccomandazione 1999/512CE.

Normativa	Limiti previsti	Induzione magnetica B (μT)	Intensità del campo elettrico E (V/m)
DPCM	Limite d'esposizione	100	5.000
	Limite d'attenzione	10	
	Obiettivo di qualità	3	
Racc. 1999/512/CE	Livelli di riferimento (ICNIRP1998, OMS)	100	5.000

Il valore di attenzione di 10 μT si applica nelle aree di gioco per l'infanzia, negli ambienti abitativi, negli ambienti scolastici e in tutti i luoghi in cui possono essere presenti persone per almeno 4 ore al giorno. Tale valore è da intendersi come mediana dei valori nell'arco delle 24 ore nelle normali condizioni di esercizio.

L'obiettivo di qualità di 3 μT si applica ai nuovi elettrodotti nelle vicinanze dei sopraccitati ambienti e luoghi, nonché ai nuovi insediamenti ed edifici in fase di realizzazione in prossimità di linee e di installazioni elettriche già esistenti (valore inteso come mediana dei valori nell'arco delle 24 ore nelle normali condizioni di esercizio). Da notare che questo valore corrisponde approssimativamente al livello di induzione prevedibile, per linee a pieno carico, alle distanze di rispetto stabilite dal vecchio DPCM 23/04/92.

Si ricorda che i limiti di esposizione fissati dalla legge sono di 100 μT per lunghe esposizioni e di 1000 μT per brevi esposizioni.

Per quanto riguarda la determinazione delle fasce di rispetto degli elettrodotti, il Ministero dell'ambiente e della tutela del territorio e del mare, sentite le ARPA, ha approvato, con Decreto 29 Maggio 2008, *“La metodologia di calcolo per la determinazione delle fasce di rispetto degli elettrodotti”*.

Tale metodologia, ai sensi dell'art. 6 comma 2 del D.P.C.M. 8 luglio 2003, ha lo scopo di fornire la procedura da adottarsi per la determinazione delle fasce di rispetto pertinenti alle linee elettriche aeree e interrate, esistenti e in progetto. I riferimenti contenuti in tale articolo implicano che le fasce di rispetto debbano attribuirsi ove sia applicabile l'obiettivo di qualità: *“Nella progettazione di nuovi elettrodotti in corrispondenza di aree di gioco per l'infanzia, di ambienti abitativi, di ambienti scolastici e di luoghi adibiti a permanenze non inferiori a quattro ore e nella progettazione di nuovi insediamenti e delle nuove aree di cui sopra in prossimità di linee ed installazioni elettriche già presenti nel territorio”* (Art. 4).

Al fine di semplificare la gestione territoriale e il calcolo delle fasce di rispetto è stato introdotto nella metodologia di calcolo un procedimento semplificato che trasforma la fascia di rispetto (volume) in una distanza di prima approssimazione (distanza).

4. DESCRIZIONE DELL'IMPIANTO

4.1 Generalità

I campi a frequenze estremamente basse (ELF), quali quelli che si manifestano nell'esercizio delle linee elettriche, sono quelli con frequenze fino a 300 Hz. A frequenze così basse corrispondono lunghezze d'onda in aria molto grandi (6000 km a 50 Hz e 5000 km a 60 Hz) e, in situazioni

pratiche, il campo elettrico e quello magnetico agiscono in modo indipendente l'uno dall'altro e sono calcolati e misurati separatamente.

I campi magnetici sono prodotti dal moto delle cariche elettriche, cioè dalla corrente. La loro intensità si misura in ampere al metro (A/m), ma è spesso espressa in termini di una grandezza corrispondente, l'induzione magnetica, che si misura in Tesla (T), milliTesla (mT) o microTesla (μ T). I campi magnetici sono massimi vicino alla sorgente e diminuiscono con la distanza e non vengono schermati dalla maggior parte dei materiali di uso comune che ne vengono facilmente attraversati.

Le opere elettriche di impianto sulle quali rivolgere l'attenzione al fine della valutazione dell'impatto elettrico e magnetico sono di seguito descritte:

- Il cavidotto MT di collegamento tra gli aerogeneratori costituente il collegamento interno;
- Il cavidotto MT di collegamento tra gli aerogeneratori e la stazione elettrica esistente costituente il collegamento esterno;
- La sezione in media ed alta tensione all'interno della stazione elettrica 30/150 kV.

4.2 Linee di distribuzione in MT

Gli aerogeneratori sono connessi tra di loro da una rete di distribuzione in cavo interrato esercita in media tensione a 30 kV, costituente il collegamento interno. Quest'ultimi sono connessi alla stazione elettrica attraverso una rete di distribuzione in media tensione a 30 kV, costituente il collegamento esterno.

I cavi impiegati fino alla sezione 300 mm² saranno del tipo tripolari cordati ad elica visibile del tipo ARP1H5(AR)EX, o similari, oppure unipolari con posa a trifoglio ARP1H5(AR)E, o similari, mentre dalla sezione 400 mm² saranno tipo a "trifoglio". Essi sono costituiti con conduttori di alluminio rivestito da un primo strato di semiconduttore, da un isolante primario in polietilene reticolato (XLPE), da un successivo strato di semiconduttore, da uno schermo a fili di rame e da una guaina esterna protettiva in PVC rosso. Sia il semiconduttore (che ha la funzione di uniformare il campo elettrico) che l'isolante primario sono di tipo estruso. Il semiconduttore è asportabile a freddo. Il cavo suddetto è definito a campo radiale in quanto, essendo ciascuna anima rivestita da uno schermo metallico, le linee di forza elettriche risultano perpendicolari agli strati dell'isolante.

La sezione dei singoli cavi componenti le terne, presenta le seguenti caratteristiche dimensionali:

Tabella 3: Caratteristiche dimensionale dei cavi.

Sezione conduttore	Diametro conduttore	Spessore Isolante	Diametro cavo	Portata al limite termico
[mm ²]	[mm]	[mm]	[mm]	[A]
3x1x150	14	8	41	324
3x1x300	20,8	8	49	486
3x1x500	26,7	8	56	636
3x1x630	30,5	8	61	725

Si precisa che, i cavi MT ad elica visibile (di tipo pre-cordato) sono esclusi dalla metodologia di calcolo prevista dalla normativa di riferimento. Tuttavia, al fine di dare evidenza dei rischi dovuti all'induzione magnetica ed al campo elettrico vengono di seguito esposti i risultati anche per cavi di questa tipologia.

4.3 Stazione elettrica di utenza 30/150 kV

La stazione elettrica di utenza sarà costituita da un'area chiusa composta da un locale comando e controllo, locale BT, locale MT (contenente i quadri MT, il trasformatore MT/BT) con una sezione di arrivo MT dall'impianto eolico; una sezione di trasformazione MT/AT ed una sezione di partenza in AT per la consegna dell'energia prodotta alla Rete di Trasmissione Nazionale.

4.4 Quadro MT di stazione elettrica

All'interno della cabina di stazione sono ubicati i quadri in MT, per la protezione ed il sezionamento delle linee elettriche in arrivo dal parco eolico e in partenza verso il trasformatore di potenza AT/MT.

5. METODOLOGIA DI CALCOLO MAGNETICO

5.1 Definizioni

In riferimento all'allegato del D.M. del 29 Maggio 2008 "Metodologia di calcolo per la determinazione delle fasce di rispetto" si introducono le seguenti definizioni:

Corrente

Valore efficace dell'intensità di corrente elettrica.

Portata in corrente in servizio normale

Corrente che può essere sopportata da un conduttore per il 100% del tempo con limiti accettabili del rischio di scarica sugli oggetti mobili e sulle opere attraversate e dell'invecchiamento. Essa è definita nella norma CEI 11-60 par. 2.6 e sue successive modifiche e integrazioni.

Portata in regime permanente

Massimo valore della corrente che, in regime permanente e in condizioni specificate, il conduttore può trasmettere senza che la sua temperatura superi un valore specificato (secondo CEI 11-17 par. 1.2.05).

Fascia di rispetto

Spazio circostante un elettrodotto, che comprende tutti i punti, al di sopra e al di sotto del livello del suolo, caratterizzati da un'induzione magnetica di intensità maggiore o uguale all'obiettivo di qualità.

5.2 Distanza di prima approssimazione (Dpa)

Distanza, in pianta sul livello del suolo, dalla proiezione del centro linea che garantisce che ogni punto la cui proiezione al suolo disti dalla proiezione del centro linea più di Dpa si trovi all'esterno delle fasce di rispetto. Per le cabine è la distanza, in pianta sul livello del suolo, da tutte le pareti della cabina stessa che garantisce i requisiti di cui sopra.

5.3 Cenni teorici sul modello utilizzato

L'induzione magnetica B generata da NR conduttori filiformi, numerati da 0 a (NR-1), può essere calcolata con l'espressione riportata di seguito; si fa notare che solo i conduttori reali contribuiscono al campo magnetico, perché si assume il suolo perfettamente trasparente dal punto di vista magnetico e non si considerano quindi i conduttori immagine.

$$\vec{B} = -\frac{\mu_0}{4\pi} \sum_{k=0}^{NR-1} \int_{C_k} \frac{i}{r^3} \vec{r} \times d\vec{l}$$

Dove μ_0 è la permeabilità magnetica del vuoto, NR è il numero dei conduttori (nel nostro caso pari a 3), i la corrente, C_k il conduttore generico, $d\vec{l}$ un suo tratto elementare, r la distanza tra questo tratto elementare ed il punto dove si vuole calcolare il campo.

Il modello adottato (conduttori cilindrici rettilinei orizzontali indefiniti paralleli tra di loro) consente di eseguire facilmente l'integrazione e semplificare i calcoli.

Indicato con **Q** il punto dove si vuole determinare il campo, definiamo sezione normale il piano verticale passante per Q e ortogonale ai conduttori; indichiamo quindi con **Pk** il punto dove il

generico conduttore **C_k** interseca la *sezione normale*, e con **I_k** la corrente nel singolo conduttore (si è preso l'asse **z** nella direzione dei conduttori).

Con queste posizioni, per l'induzione magnetica in Q si ottiene l'espressione

$$\vec{B} = \frac{\mu_0}{2\pi} \sum_{k=0}^{NR-1} \frac{i_k \vec{z} \times (Q - P_k)}{|Q - P_k|^2}$$

La formula indica che l'induzione magnetica è inversamente proporzionale al quadrato della distanza del punto di interesse dai conduttori; esiste inoltre una proporzionalità diretta tra l'induzione e la distanza tra i singoli conduttori di ogni terna.

5.4 **Metodo di calcolo**

Lo studio dell'impatto elettromagnetico nel caso di linee elettriche aeree e non, si traduce nella determinazione di una fascia di rispetto. Per l'individuazione di tale fascia si deve effettuare il calcolo dell'induzione magnetica basato sulle caratteristiche geometriche, meccaniche ed elettriche della linea presa in esame. Esso deve essere eseguito secondo modelli tridimensionali o bidimensionali con l'applicazione delle condizioni espresse al paragrafo 6.1 della norma CEI 106-11.

Al fine di semplificare la gestione territoriale e il calcolo delle fasce di rispetto, in prima approssimazione è possibile:

- Calcolare la fascia di rispetto combinando la configurazione dei conduttori, geometrica e di fase, e la portata in corrente in servizio normale che forniscono il risultato più cautelativo sull'intero tronco;
- Proiettare al suolo verticalmente tale fascia;
- Individuare l'estensione rispetto alla proiezione del centro linea (DPA).

6. METODOLOGIA DI CALCOLO CAMPO ELETTRICO

6.1 **Cenni teorici**

In generale, per il calcolo del campo elettrico si ricorre al principio delle immagini in base al quale il terreno, considerato come piano equipotenziale a potenziale nullo, può essere simulato con una configurazione di cariche immagini. In altre parole per ogni conduttore reale, sia attivo che di guardia, andrà considerato un analogo conduttore immagine la cui posizione è speculare, rispetto al

piano di terra, a quella del conduttore reale e la cui carica è opposta rispetto a quella del medesimo conduttore reale.

In particolare, il campo elettrico di un conduttore rettilineo di lunghezza infinita con densità lineare di carica costante può essere espresso come:

$$\vec{E} = \frac{\lambda}{2\pi\epsilon_0 d} \vec{u}_r$$

Dove: λ = densità lineare di carica sul conduttore;
 ϵ_0 = permittività del vuoto;
 d = distanza del conduttore rettilineo dal punto di calcolo;
 u_r = versore unitario con direzione radiale al conduttore.

7. CAMPI ELETTROMAGNETICI AEROGENERATORE

7.1 Interferenze elettromagnetiche

Gli aerogeneratori possono essere fonte di interferenza elettromagnetica a causa della riflessione e della diffusione delle onde radio che investono la struttura. L'origine di disturbi elettromagnetici dovuti alla presenza di aerogeneratori è da ricercare nella interferenza delle pale (specialmente se in materiali metallici o riflettenti o se dotate di strutture metalliche all'interno) e dei sostegni con campi elettromagnetici, supporto di telecomunicazioni (televisione, segnali di ponti radio, mezzi di aiuto alla radionavigazione, ecc.).

Gli effetti di questo fenomeno possono essere studiati e calcolati facendo ricorso a modelli matematici predittivi che permettono di individuare, in maniera conservativa, la zona oltre la quale il rapporto tra segnale e disturbo è tale da non incidere sulla qualità del radioservizio. La misurazione degli effetti è possibile attraverso prove sperimentali.

Sulla base di quanto riportato a questo proposito in letteratura sulla caratterizzazione di macchine di media taglia, considerando che l'impianto è costituito da un solo aerogeneratore e che lo stesso non si frappone a ripetitori di segnali di telecomunicazione, si ritiene che il rischio di tali disturbi possa considerarsi irrilevante. Si consideri altresì che i moderni aerogeneratori utilizzano pale in materiale non metallico e antiriflettente, cosa che come detto riduce ulteriormente il disturbo.

7.2 Cabina trasformazione MT/BT

Il sistema elettrico degli aerogeneratori è costituito da apparecchiature in bassa tensione collocati

sulla navicella e cavi di bassa tensione che da quest'ultima raggiungono il trasformatore MT/BT. Per i cavi in BT non è applicabile la metodologia di calcolo per la determinazione delle fasce di rispetto degli elettrodotti (art. 3.2 DM 29/05/2008).

Riguardo i trasformatori MT/BT il valore dell'induzione magnetica decresce rapidamente al crescere della distanza dal trasformatore. Per distanze comprese tra 1 m e 10 m da un trasformatore in resina si può calcolare il valore del campo magnetico con la seguente formula:

$$B = 5 \frac{u_{cc}}{6} \sqrt{\frac{S_r}{630}} \left(\frac{3}{a}\right)^{2,8}$$

Dove

- U_{cc} è la tensione percentuale di cortocircuito;
- S_r è la potenza nominale del trasformatore (kVA);
- a è la distanza dal trasformatore.

Un valore di DPA pari a 5 m attorno al trasformatore garantisce valori di campo magnetico inferiori al limite consentito dalla legge.

8. LINEA IN CAVO INTERRATO IN MT

8.1 Determinazione dei campi magnetici

Per la realizzazione dei cavidotti di collegamento, sono stati considerati tutti gli accorgimenti che consentono la minimizzazione degli effetti elettromagnetici sull'ambiente e sulle persone. In particolare, la scelta di operare con linee in MT interrate permette di eliminare la componente elettrica del campo, grazie all'effetto schermante del terreno; inoltre la limitata distanza tra i cavi (ulteriormente ridotta grazie all'impiego di terne cosiddette "a trifoglio") fa sì che l'induzione magnetica risulti significativa solo in prossimità dei cavi.

In dettaglio saranno simulati i seguenti tratti di cavidotto alla tensione nominale di 30 kV:

- **S1:** una terna di conduttori disposti a trifoglio di sezione 150 mm² percorsa da corrente massima pari a 114 A ed interrata ad una profondità di 1,20 m;
- **S2:** una terna di conduttori disposti a trifoglio di sezione 630 mm² percorsa da corrente massima pari a 454 A ed interrata ad una profondità di 1,20 m;
- **S3:** due terne di conduttori disposti a trifoglio di sezione 150 mm² percorsa da corrente massima pari a 114 A ed interrate ad una profondità di 1,20 m;

- **S4:** una terna di conduttori disposti a trifoglio di sezione 150 mm² percorsa da corrente massima pari a 114 A ed una terna di conduttori disposti a trifoglio di sezione 300 mm² percorsa da corrente massima pari a 227 A ed interrate ad una profondità di 1,20 m;
- **S5:** una terna di conduttori disposti a trifoglio di sezione 150 mm² percorsa da corrente massima pari a 114 A ed una terna di conduttori disposti a trifoglio di sezione 630 mm² percorsa da corrente massima pari a 340 A ed interrate ad una profondità di 1,20 m;
- **S6:** una terna di conduttori disposti a trifoglio di sezione 300 mm² percorsa da corrente massima pari a 227 A ed una terna di conduttori disposti a trifoglio di sezione 630 mm² percorsa da corrente massima pari a 340 A ed interrate ad una profondità di 1,20 m;
- **S7:** due terne di conduttori disposti a trifoglio di sezione 630 mm² percorse da corrente massima pari a 454 A ed interrate ad una profondità di 1,20 m;
- **S8:** due terne di conduttori disposti a trifoglio di sezione 150 mm² percorse da corrente massima pari a 114 A ed una terna di conduttori disposti a trifoglio di sezione 630 mm² percorsa da corrente massima pari a 114 A ed interrate ad una profondità di 1,20 m;
- **S9:** due terne di conduttori disposti a trifoglio di sezione 630 mm² percorse da corrente massima pari a 454 A ed una terna di conduttori disposti a trifoglio di sezione 150 mm² percorsa da corrente massima pari a 227 A ed interrate ad una profondità di 1,20 m;
- **S10:** due terne di conduttori disposti a trifoglio di sezione 630 mm² percorse da corrente massima pari a 454 A ed una terna di conduttori disposti a trifoglio di sezione 300 mm² percorsa da corrente massima pari a 227 A ed interrate ad una profondità di 1,20 m;
- **S11:** tre terne di conduttori disposti a trifoglio di sezione 630 mm² percorse da corrente massima pari a 454 A ed interrate ad una profondità di 1,20 m;
- **S12:** una terna di conduttori disposti a trifoglio di sezione 150 mm² percorsa da corrente massima pari a 114 A, una terna di conduttori disposti a trifoglio di sezione 300 mm² percorsa da corrente massima pari a 227 A e due terne di conduttori disposte a trifoglio di sezione 630 mm² percorse da una corrente massima pari a 454 A ed interrate ad una profondità di 1,20 m.

I valori del campo magnetico sono stati misurati ad altezza conduttori, al suolo e ad 1,50 m dal suolo. Più precisamente, i risultati di seguito riportati illustrano l'andamento del campo magnetico in funzione della distanza dall'asse dei conduttori e l'andamento del campo magnetico su di un asse ortogonale all'asse dei conduttori.

SI

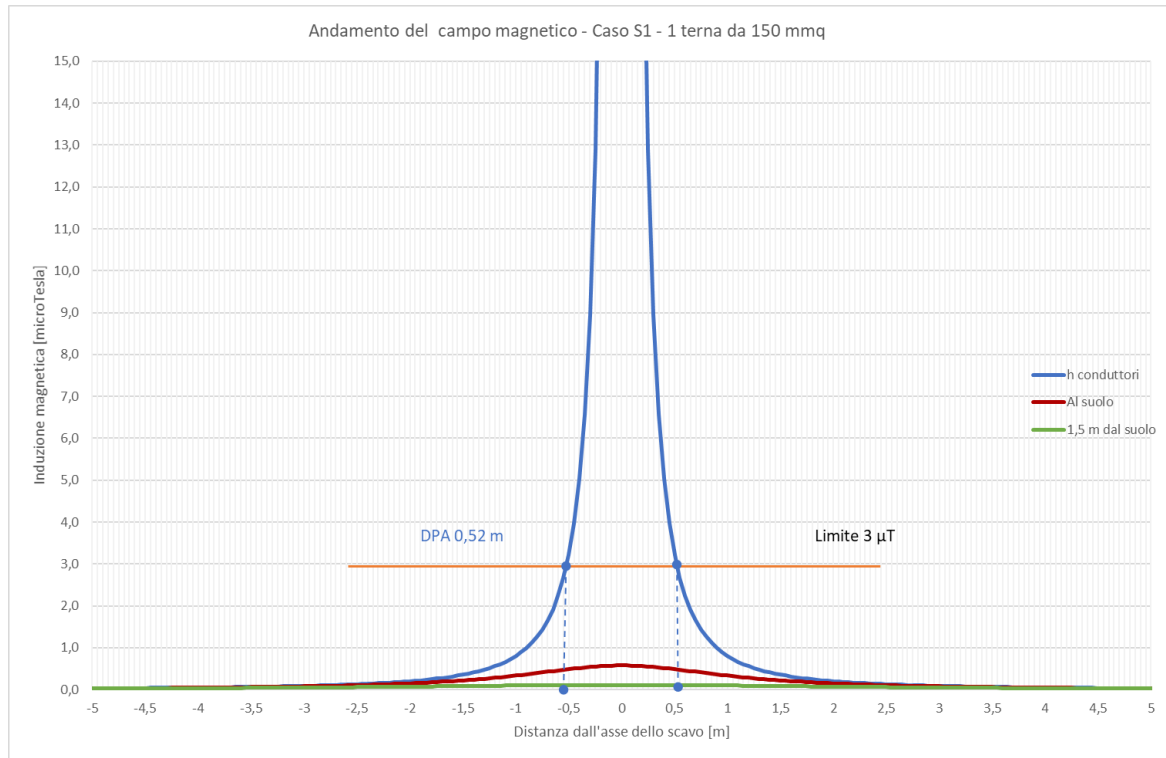


Figura 1: Andamento del campo magnetico in funzione della distanza dall'asse dei conduttori in forma grafica relativa alla simulazione S1.

Distanza dai cavi [m]	Altezza conduttori [μT]	Al suolo [μT]	A 1,5 m dal suolo [μT]
-5	0,032	0,031	0,025
-4,5	0,040	0,037	0,029
-4	0,050	0,046	0,035
-3,5	0,066	0,059	0,041
-3	0,090	0,078	0,050
-2,5	0,129	0,105	0,060
-2	0,201	0,149	0,072
-1,5	0,358	0,221	0,085
-1	0,806	0,337	0,098
-0,5	3,222	0,491	0,108
0	958,458	0,579	0,112
0,5	3,222	0,491	0,108
1	0,806	0,337	0,098
1,5	0,358	0,221	0,085
2	0,201	0,149	0,072
2,5	0,129	0,105	0,060
3	0,090	0,078	0,050
3,5	0,066	0,059	0,041
4	0,050	0,046	0,035
4,5	0,040	0,037	0,029
5	0,032	0,031	0,025

Tabella 1: Andamento del campo magnetico in funzione della distanza dall'asse dei conduttori in forma tabellare relativa alla simulazione S1.

S2

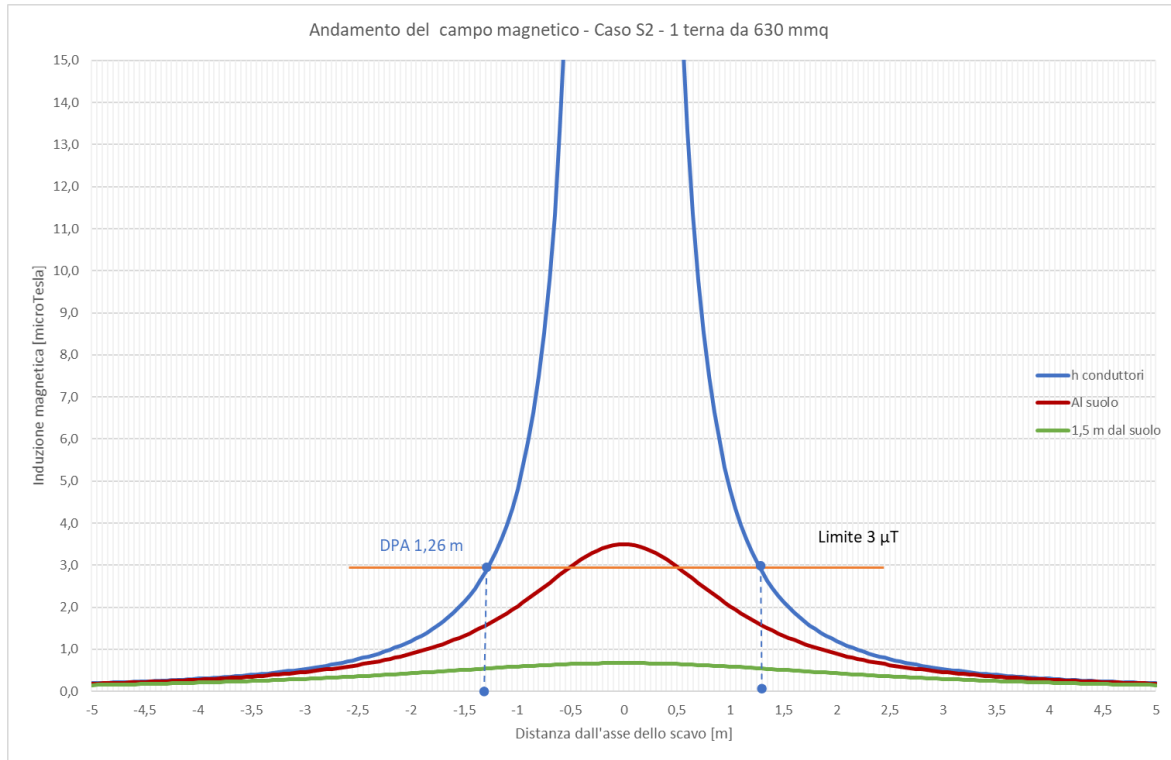


Figura 2: Andamento del campo magnetico in funzione della distanza dall'asse dei conduttori in forma grafica relativa alla simulazione S2.

Distanza dai cavi [m]	Altezza conduttori [μT]	Al suolo [μT]	A 1,5 m dal suolo [μT]
-5	0,192	0,182	0,149
-4,5	0,237	0,222	0,175
-4	0,300	0,276	0,207
-3,5	0,391	0,352	0,247
-3	0,533	0,462	0,297
-2,5	0,767	0,629	0,358
-2	1,198	0,893	0,431
-1,5	2,131	1,325	0,511
-1	4,794	2,025	0,590
-0,5	19,175	2,962	0,650
0	2576,667	3,503	0,673
0,5	19,175	2,962	0,650
1	4,794	2,025	0,590
1,5	2,131	1,325	0,511
2	1,198	0,893	0,431
2,5	0,767	0,629	0,358
3	0,533	0,462	0,297
3,5	0,391	0,352	0,247
4	0,300	0,276	0,207
4,5	0,237	0,222	0,175
5	0,192	0,182	0,149

Tabella 2: Andamento del campo magnetico in funzione della distanza dall'asse dei conduttori in forma tabellare relativa alla simulazione S2.

S3

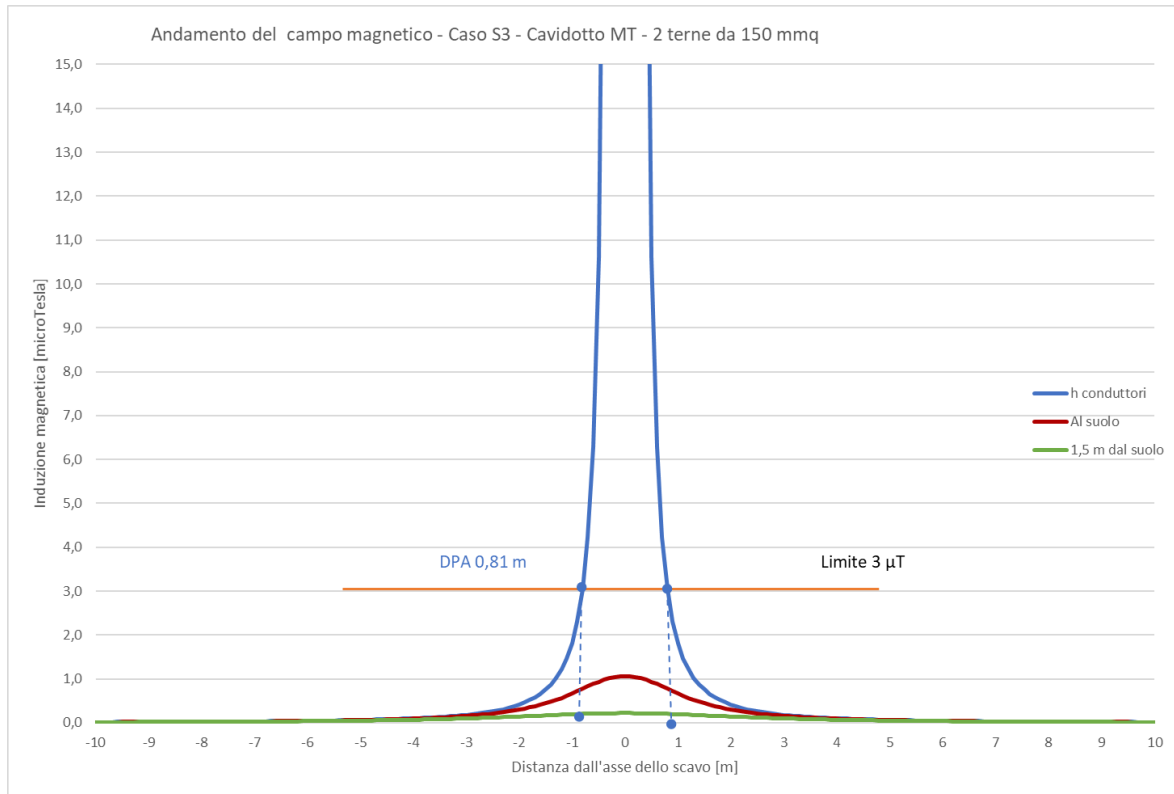


Figura 3: Andamento del campo magnetico in funzione della distanza dall'asse dei conduttori in forma grafica relativa alla simulazione S3.

Distanza dai cavi [m]	Altezza conduttori [μ T]	Al suolo [μ T]	A 1,5 m dal suolo [μ T]
-10	0,016	0,016	0,015
-9	0,020	0,020	0,018
-8	0,025	0,025	0,023
-7	0,033	0,032	0,029
-6	0,045	0,043	0,037
-5	0,065	0,061	0,050
-4	0,101	0,093	0,070
-3	0,181	0,156	0,100
-2	0,415	0,302	0,144
-1	1,818	0,668	0,195
0	39,415	1,063	0,221
1	1,818	0,668	0,195
2	0,415	0,302	0,144
3	0,181	0,156	0,100
4	0,101	0,093	0,070
5	0,065	0,061	0,050
6	0,045	0,043	0,037
7	0,033	0,032	0,029
8	0,025	0,025	0,023
9	0,020	0,020	0,018
10	0,016	0,016	0,015

Tabella 3: Andamento del campo magnetico in funzione della distanza dall'asse dei conduttori in forma tabellare relativa alla simulazione S3.

S4

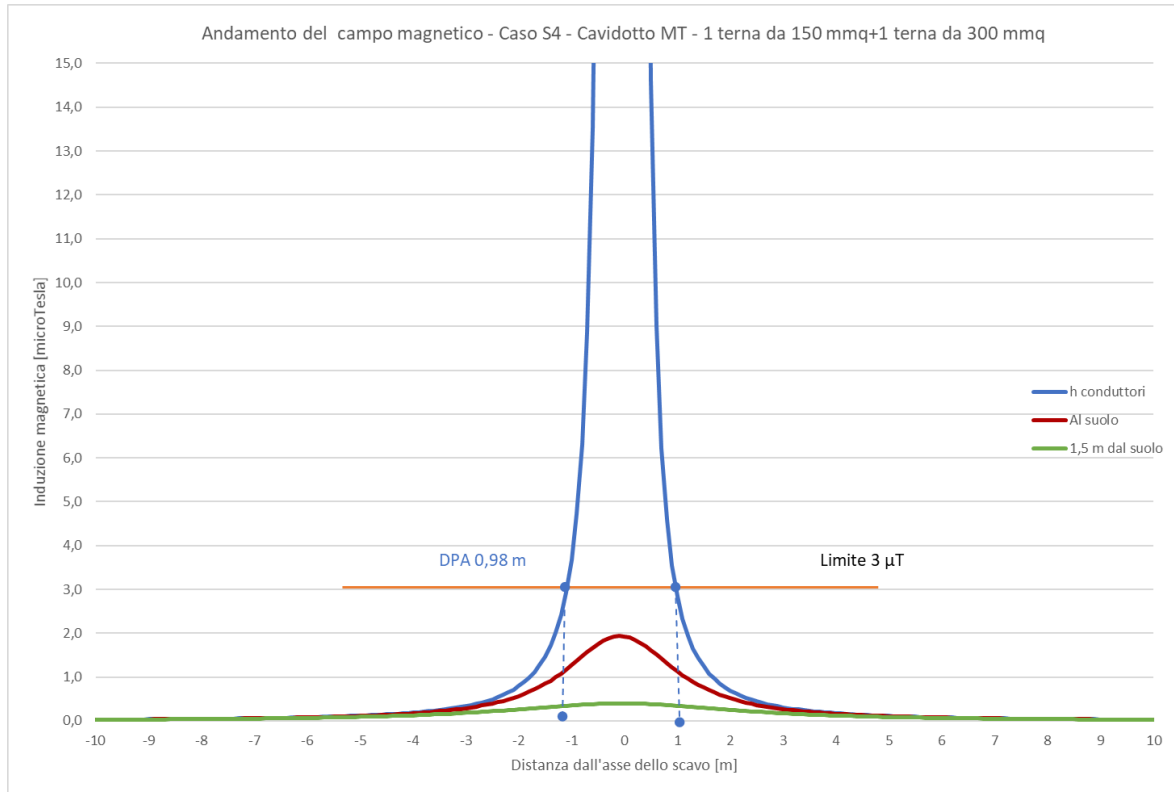


Figura 4: Andamento del campo magnetico in funzione della distanza dall'asse dei conduttori in forma grafica relativa alla simulazione S4.

Distanza dai cavi [m]	Altezza conduttori [μ T]	Al suolo [μ T]	A 1,5 m dal suolo [μ T]
-10	0,029	0,029	0,027
-9	0,036	0,036	0,033
-8	0,046	0,045	0,041
-7	0,060	0,058	0,052
-6	0,082	0,079	0,068
-5	0,119	0,113	0,092
-4	0,188	0,172	0,128
-3	0,339	0,291	0,183
-2	0,793	0,569	0,264
-1	3,675	1,273	0,356
0	70,169	1,928	0,397
1	2,838	1,135	0,344
2	0,694	0,515	0,252
3	0,311	0,270	0,174
4	0,176	0,162	0,122
5	0,113	0,107	0,088
6	0,079	0,076	0,066
7	0,058	0,056	0,051
8	0,044	0,043	0,040
9	0,035	0,035	0,032
10	0,029	0,028	0,027

Tabella 4: Andamento del campo magnetico in funzione della distanza dall'asse dei conduttori in forma tabellare relativa alla simulazione S4.

S5

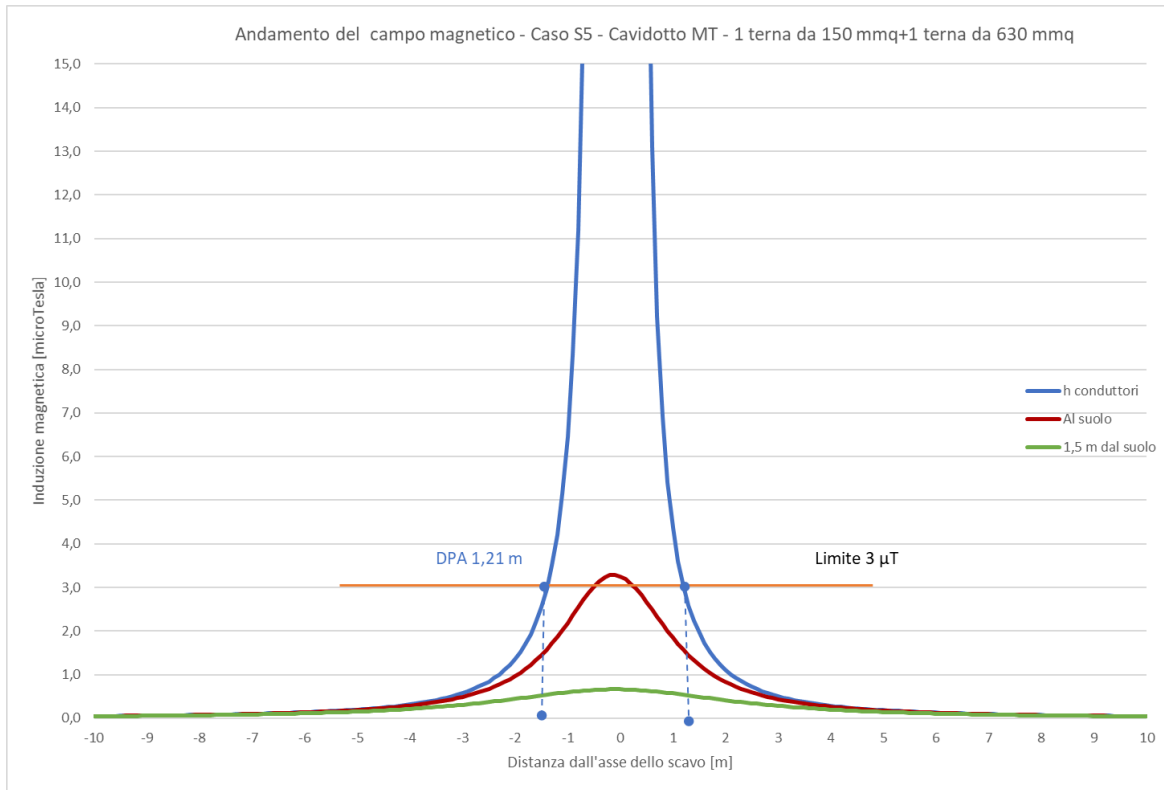


Figura 5: Andamento del campo magnetico in funzione della distanza dall'asse dei conduttori in forma grafica relativa alla simulazione S5.

Distanza dai cavi [m]	Altezza conduttori [μT]	Al suolo [μT]	A 1,5 m dal suolo [μT]
-10	0,049	0,048	0,046
-9	0,061	0,060	0,056
-8	0,077	0,075	0,069
-7	0,101	0,098	0,088
-6	0,138	0,133	0,114
-5	0,200	0,189	0,154
-4	0,317	0,290	0,215
-3	0,575	0,493	0,309
-2	1,357	0,971	0,445
-1	6,448	2,190	0,599
0	115,417	3,258	0,663
1	4,365	1,844	0,570
2	1,112	0,836	0,414
3	0,504	0,439	0,286
4	0,287	0,265	0,200
5	0,185	0,176	0,145
6	0,129	0,124	0,108
7	0,095	0,093	0,083
8	0,073	0,072	0,066
9	0,058	0,057	0,053
10	0,047	0,046	0,044

Tabella 5: Andamento del campo magnetico in funzione della distanza dall'asse dei conduttori in forma tabellare relativa alla simulazione S5.

S6

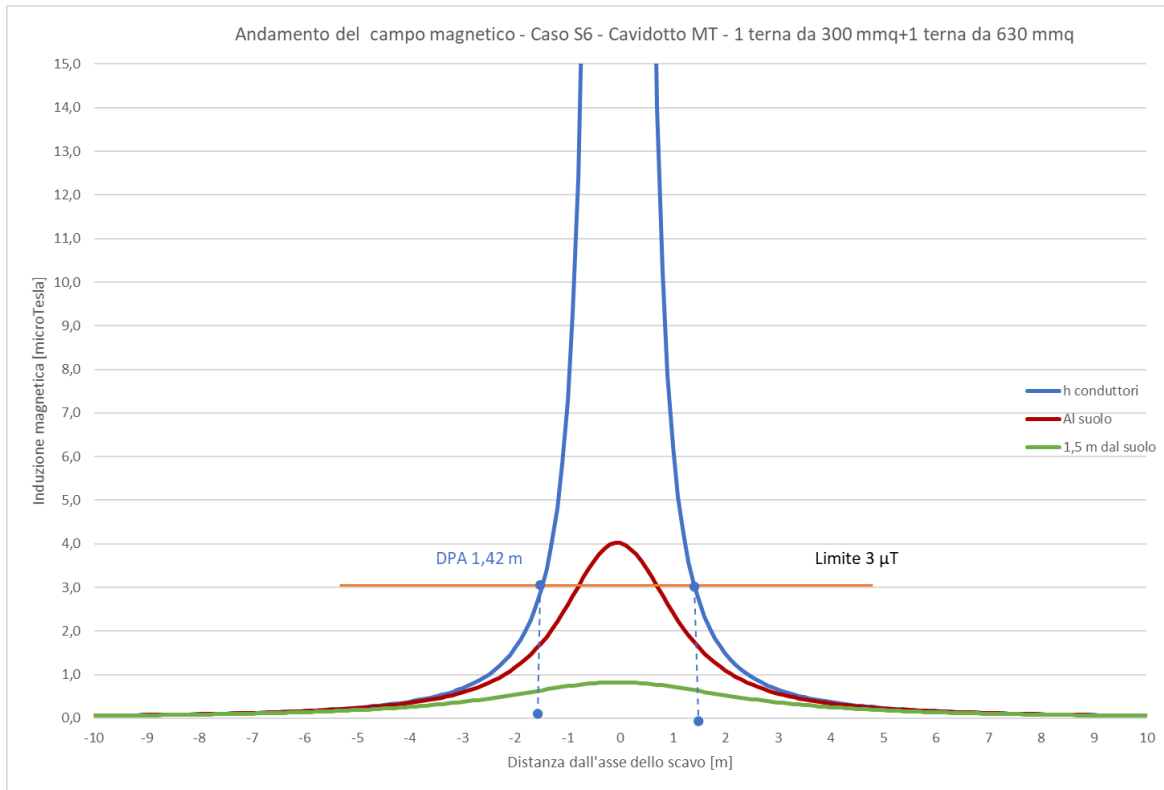


Figura 6: Andamento del campo magnetico in funzione della distanza dall'asse dei conduttori in forma grafica relativa alla simulazione S6.

Distanza dai cavi [m]	Altezza conduttori [μ T]	Al suolo [μ T]	A 1,5 m dal suolo [μ T]
-10	0,060	0,060	0,056
-9	0,075	0,073	0,069
-8	0,095	0,093	0,085
-7	0,124	0,120	0,108
-6	0,169	0,163	0,141
-5	0,244	0,231	0,189
-4	0,385	0,353	0,263
-3	0,692	0,596	0,377
-2	1,604	1,162	0,544
-1	7,278	2,597	0,736
0	142,696	4,019	0,826
1	6,233	2,423	0,721
2	1,481	1,094	0,529
3	0,656	0,569	0,366
4	0,369	0,340	0,256
5	0,237	0,225	0,184
6	0,165	0,159	0,138
7	0,121	0,118	0,106
8	0,093	0,091	0,084
9	0,073	0,072	0,067
10	0,059	0,059	0,056

Tabella 6: Andamento del campo magnetico in funzione della distanza dall'asse dei conduttori in forma tabellare relativa alla simulazione S6.

S7

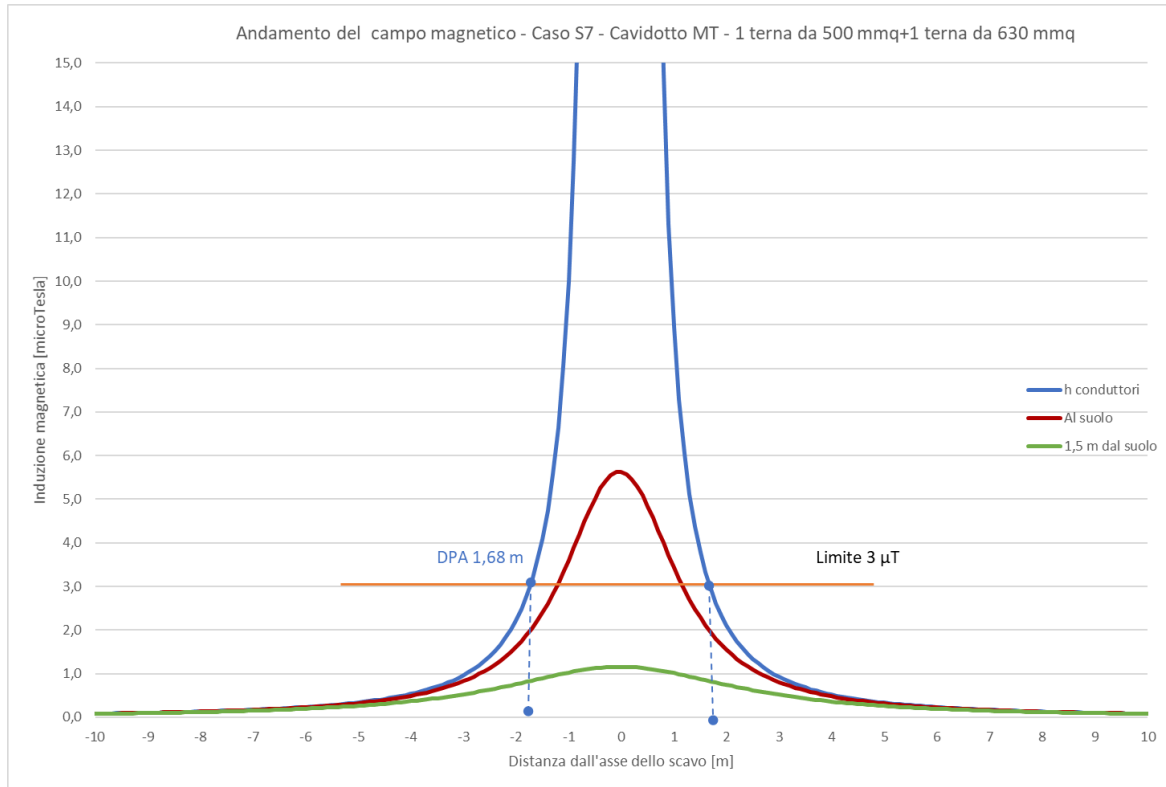


Figura 7: Andamento del campo magnetico in funzione della distanza dall'asse dei conduttori in forma grafica relativa alla simulazione S7.

Distanza dai cavi [m]	Altezza conduttori [μ T]	Al suolo [μ T]	A 1,5 m dal suolo [μ T]
-10	0,085	0,083	0,079
-9	0,104	0,103	0,096
-8	0,132	0,130	0,119
-7	0,173	0,168	0,151
-6	0,236	0,227	0,197
-5	0,341	0,323	0,264
-4	0,536	0,492	0,367
-3	0,963	0,830	0,526
-2	2,223	1,615	0,760
-1	9,989	3,604	1,029
0	199,838	5,627	1,158
1	8,952	3,431	1,014
2	2,101	1,547	0,744
3	0,927	0,803	0,515
4	0,521	0,480	0,360
5	0,333	0,316	0,259
6	0,232	0,223	0,193
7	0,170	0,166	0,149
8	0,130	0,128	0,117
9	0,103	0,101	0,095
10	0,084	0,082	0,078

Tabella 7: Andamento del campo magnetico in funzione della distanza dall'asse dei conduttori in forma tabellare relativa alla simulazione S7.

S8

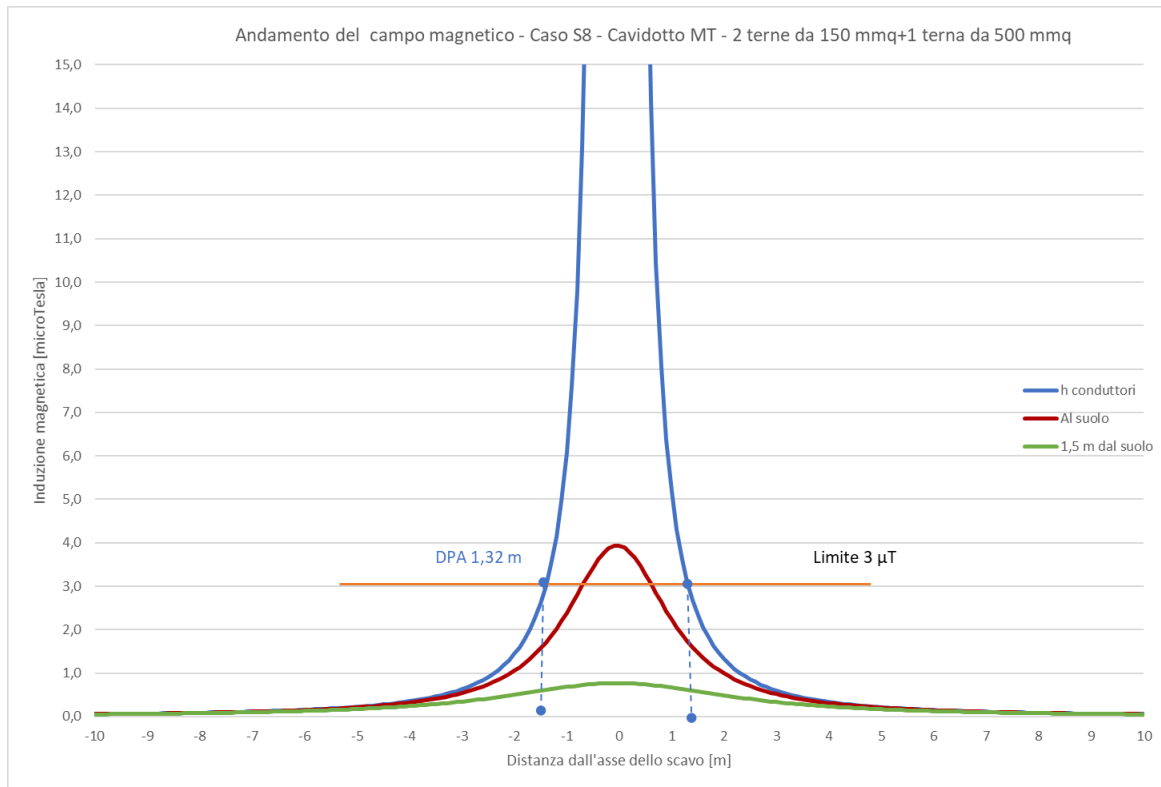


Figura 8: Andamento del campo magnetico in funzione della distanza dall’asse dei conduttori in forma grafica relativa alla simulazione S8.

Distanza dai cavi [m]	Altezza conduttori [μT]	Al suolo [μT]	A 1,5 m dal suolo [μT]
-10	0,055	0,055	0,052
-9	0,068	0,067	0,063
-8	0,087	0,085	0,078
-7	0,114	0,110	0,099
-6	0,155	0,149	0,129
-5	0,224	0,212	0,173
-4	0,351	0,323	0,241
-3	0,629	0,543	0,346
-2	1,438	1,056	0,500
-1	6,080	2,392	0,681
0	358,827	3,939	0,767
1	5,181	2,235	0,667
2	1,327	0,995	0,486
3	0,596	0,518	0,336
4	0,337	0,311	0,234
5	0,217	0,205	0,169
6	0,151	0,145	0,126
7	0,111	0,108	0,097
8	0,085	0,083	0,077
9	0,067	0,066	0,062
10	0,055	0,054	0,051

Tabella 8: Andamento del campo magnetico in funzione della distanza dall’asse dei conduttori in forma tabellare relativa alla simulazione S8.

S9

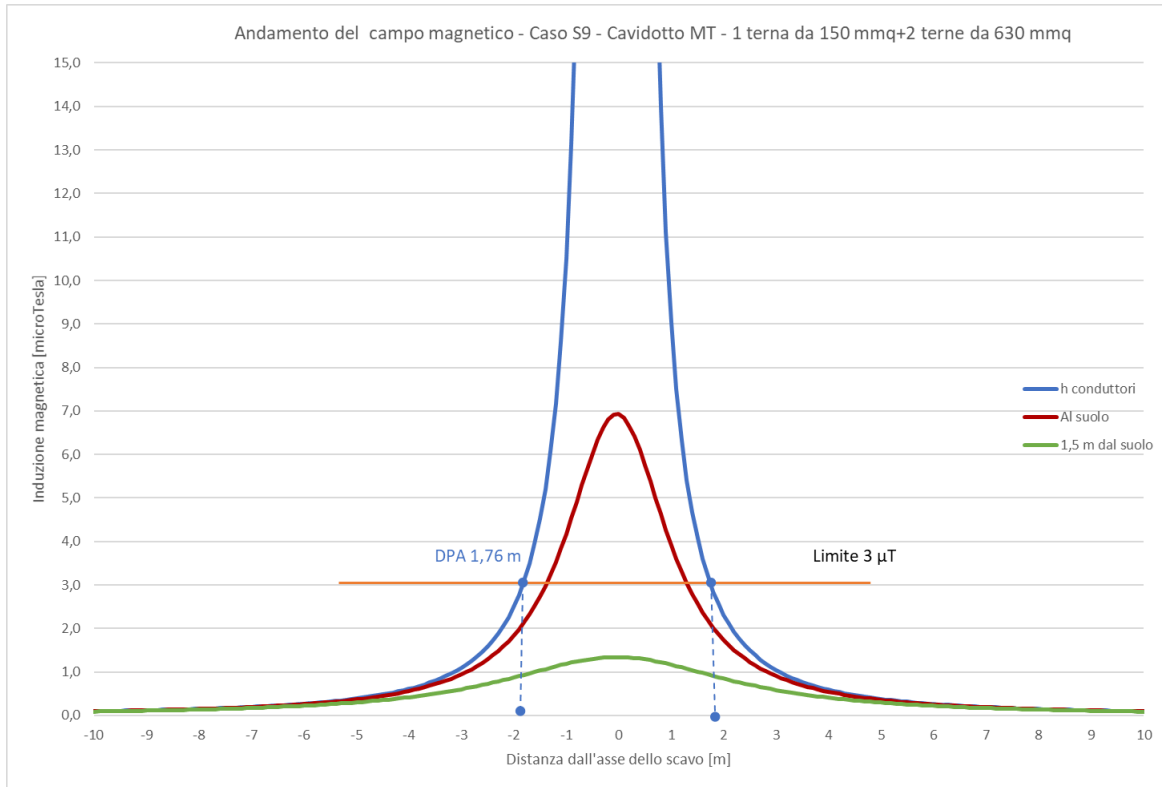


Figura 9: Andamento del campo magnetico in funzione della distanza dall'asse dei conduttori in forma grafica relativa alla simulazione S9.

Distanza dai cavi [m]	Altezza conduttori [μT]	Al suolo [μT]	A 1,5 m dal suolo [μT]
-10	0,097	0,095	0,090
-9	0,119	0,117	0,110
-8	0,151	0,148	0,136
-7	0,198	0,192	0,172
-6	0,270	0,260	0,225
-5	0,390	0,369	0,302
-4	0,611	0,562	0,420
-3	1,094	0,946	0,603
-2	2,499	1,840	0,873
-1	10,506	4,175	1,189
0	1478,478	6,926	1,342
1	9,037	3,919	1,167
2	2,318	1,740	0,850
3	1,041	0,906	0,586
4	0,589	0,543	0,409
5	0,378	0,359	0,295
6	0,263	0,254	0,220
7	0,194	0,188	0,169
8	0,148	0,145	0,134
9	0,117	0,115	0,108
10	0,095	0,094	0,089

Tabella 9: Andamento del campo magnetico in funzione della distanza dall'asse dei conduttori in forma tabellare relativa alla simulazione S9.

S10

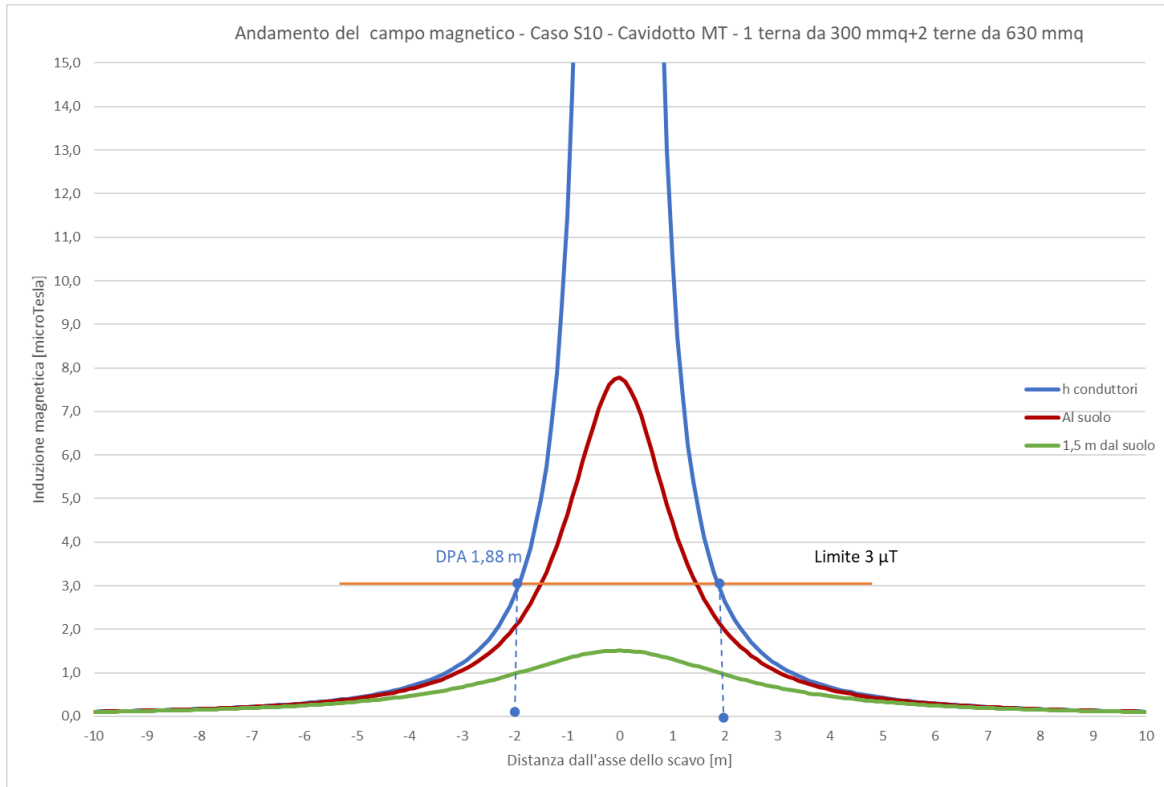


Figura 10: Andamento del campo magnetico in funzione della distanza dall'asse dei conduttori in forma grafica relativa alla simulazione S10.

Distanza dai cavi [m]	Altezza conduttori [μT]	Al suolo [μT]	A 1,5 m dal suolo [μT]
-10	0,108	0,107	0,101
-9	0,134	0,132	0,123
-8	0,170	0,166	0,152
-7	0,222	0,216	0,193
-6	0,302	0,291	0,252
-5	0,436	0,413	0,338
-4	0,682	0,628	0,470
-3	1,219	1,055	0,674
-2	2,770	2,047	0,977
-1	11,494	4,635	1,332
0	1376,425	7,772	1,509
1	10,513	4,464	1,317
2	2,649	1,980	0,961
3	1,183	1,028	0,663
4	0,667	0,615	0,463
5	0,428	0,406	0,333
6	0,298	0,287	0,249
7	0,219	0,213	0,191
8	0,168	0,164	0,151
9	0,133	0,130	0,122
10	0,107	0,106	0,100

Tabella 10: Andamento del campo magnetico in funzione della distanza dall'asse dei conduttori in forma tabellare relativa alla simulazione S10.

S11

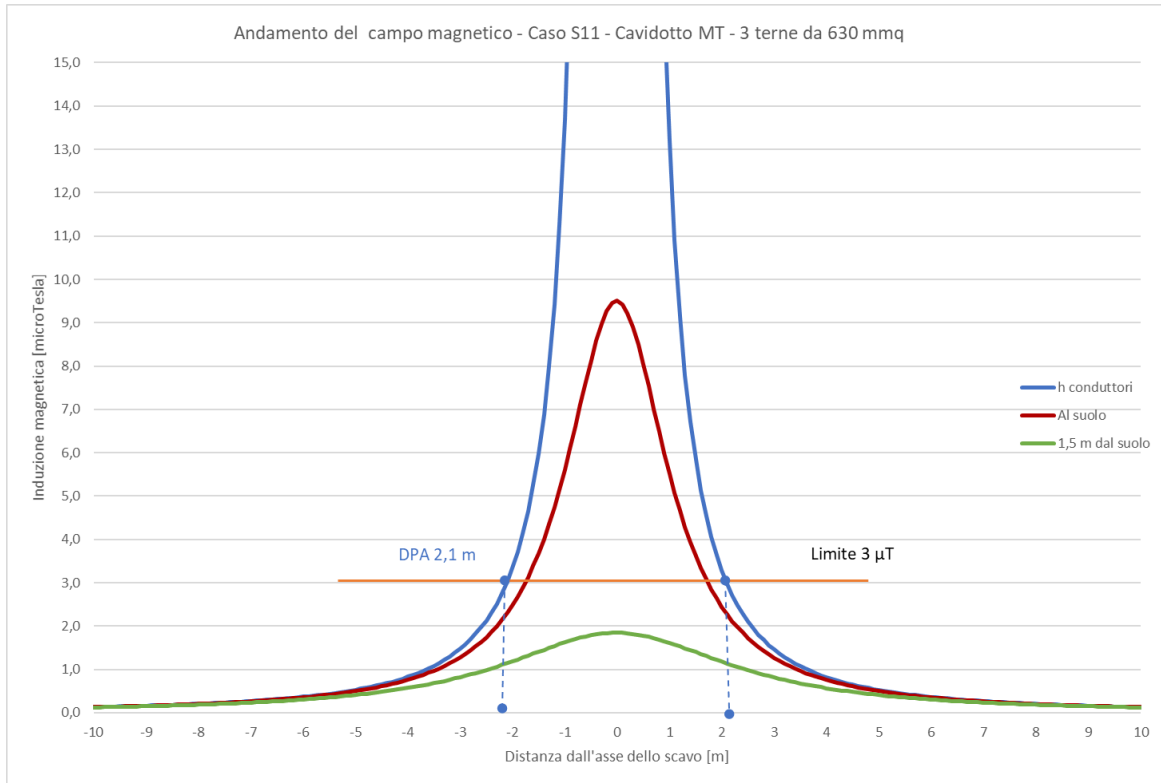


Figura 11: Andamento del campo magnetico in funzione della distanza dall'asse dei conduttori in forma grafica relativa alla simulazione S11.

Distanza dai cavi [m]	Altezza conduttori [μ T]	Al suolo [μ T]	A 1,5 m dal suolo [μ T]
-10	0,132	0,130	0,123
-9	0,163	0,160	0,150
-8	0,207	0,202	0,186
-7	0,270	0,263	0,236
-6	0,368	0,354	0,307
-5	0,530	0,502	0,412
-4	0,829	0,763	0,572
-3	1,477	1,281	0,821
-2	3,343	2,478	1,189
-1	13,688	5,605	1,624
0	1918,011	9,504	1,846
1	13,200	5,520	1,616
2	3,283	2,445	1,181
3	1,460	1,267	0,815
4	0,822	0,757	0,569
5	0,526	0,499	0,409
6	0,365	0,352	0,305
7	0,269	0,261	0,235
8	0,206	0,201	0,185
9	0,163	0,160	0,149
10	0,132	0,130	0,123

Tabella 11: Andamento del campo magnetico in funzione della distanza dall'asse dei conduttori in forma tabellare relativa alla simulazione S11.

S12

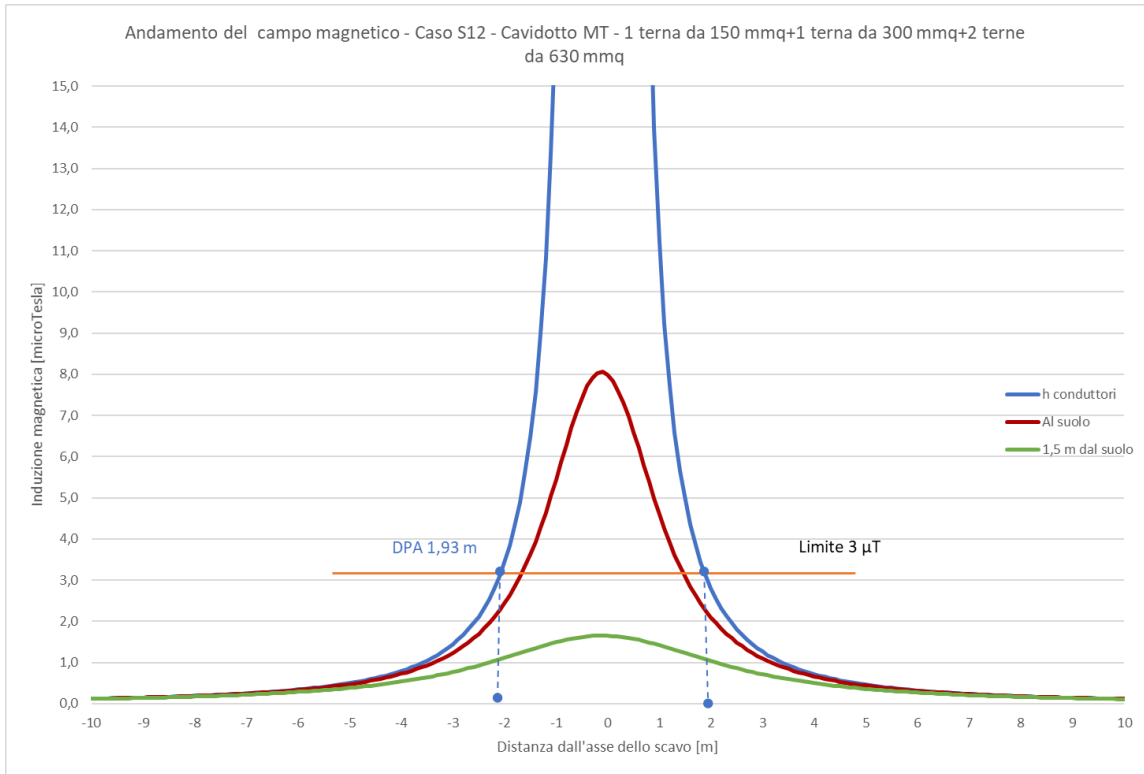


Figura 12: Andamento del campo magnetico in funzione della distanza dall'asse dei conduttori in forma grafica relativa alla simulazione S12.

Distanza dai cavi [m]	Altezza conduttori [μ T]	Al suolo [μ T]	A 1,5 m dal suolo [μ T]
-10	0,122	0,121	0,114
-9	0,151	0,149	0,139
-8	0,192	0,188	0,173
-7	0,252	0,245	0,219
-6	0,345	0,332	0,286
-5	0,501	0,474	0,386
-4	0,794	0,727	0,537
-3	1,444	1,236	0,772
-2	3,424	2,433	1,112
-1	16,909	5,444	1,492
0	542,242	7,994	1,651
1	11,202	4,609	1,421
2	2,798	2,096	1,035
3	1,263	1,100	0,716
4	0,718	0,663	0,501
5	0,463	0,439	0,362
6	0,323	0,311	0,271
7	0,238	0,232	0,209
8	0,183	0,179	0,165
9	0,145	0,143	0,133
10	0,118	0,116	0,110

Tabella 12: Andamento del campo magnetico in funzione della distanza dall'asse dei conduttori in forma tabellare relativa alla simulazione S12.

8.2 **Determinazione della distanza di prima approssimazione (DPA)**

Il calcolo della DPA per i cavidotti di collegamento in MT simulati si traduce graficamente nell'individuazione di una distanza che ha origine dal punto di proiezione dall'asse del cavidotto al suolo e ha termine in un punto individuato sul suolo il cui valore del campo magnetico risulta essere uguale o inferiore ai 3 μ T. Si riportano nella seguente tabella le distanze di prima approssimazione per i tratti di cavidotto presi in esame:

Tabella 15: Distanza di prima approssimazione per cavidotti di collegamento del parco eolico.

CASO DI STUDIO	N° TERNE	SEZIONI [mm ²]	TIPOLOGIA CAVO	TENSIONE [kV]	DPA [m]
S1	1	3x1x150	Posa a trifoglio	30	1
S2	1	3x1x630	Posa a trifoglio	30	2
S3	2	3x1x150 3x1x150	Posa a trifoglio	30	1
S4	2	3x1x150 3x1x300	Posa a trifoglio	30	1
S5	2	3x1x150 3x1x630	Posa a trifoglio	30	2
S6	2	3x1x300 3x1x630	Posa a trifoglio	30	2
S7	2	3x1x630 3x1x630	Posa a trifoglio	30	2
S8	3	3x1x150 3x1x150 3x1x630	Posa a trifoglio	30	2
S9	3	3x1x630 3x1x630 3x1x150	Posa a trifoglio	30	2
S10	3	3x1x630 3x1x630 3x1x300	Posa a trifoglio	30	2
S11	3	3x1x630 3x1x630 3x1x630	Posa a trifoglio	30	3
S12	4	3x1x150 3x1x300 3x1x630	Posa a trifoglio	30	2

Le DPA sono state calcolate con una approssimazione non superiore al metro così come indicato nel paragrafo 5.1.2 della guida allegata al DM del 29/05/2008.

9. STAZIONE ELETTRICA AT/MT E CABINA MT DI STAZIONE

Il calcolo del campo elettrico e magnetico per una stazione elettrica 30/150 kV è stato effettuato sulle sbarre a 150 kV all'interno dell'area di stazione e sulle sbarre a 30 kV dei quadri in MT localizzati anch'essi all'interno della recinzione della stazione.

I parametri geometrici ed elettrici utilizzati per il calcolo sulle sbarre a 150 kV risultano i seguenti:

- Altezza delle sbarre: 7 m;
- Distanza tra le sbarre: 2.2 m;
- Valore efficace della corrente delle sbarre: 870 A;

- Valore efficace della tensione fra conduttore e terra: 86705 V

I parametri geometrici ed elettrici utilizzati per il calcolo sulle sbarre a 30 kV risultano, invece, i seguenti:

- Altezza delle sbarre: 1.6 m;
- Distanza tra le sbarre: 0.37 m;
- Valore efficace della corrente delle sbarre: 1250 A;
- Valore efficace della tensione fra conduttore e terra: 17341 V
-

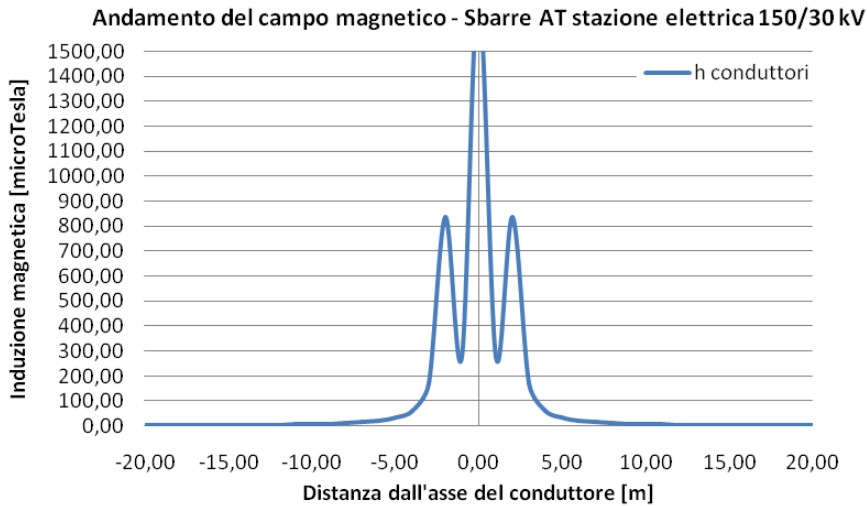


Figura 12: Andamento del campo magnetico in funzione della distanza dall'asse dei conduttori in forma grafica - Sbarre AT stazione elettrica 30/150 kV - Valutazione della Distanza di prima Approssimazione.

Valutazione Distanza di prima approssimazione			
Distanza dai cavi [m]	Altezza conduttori [μ T]	Distanza dai cavi [m]	Altezza conduttori [μ T]
-20	1,68	1	277,17
-19	1,87	2	835,8
-18	2,08	3	171,7
-17	2,34	4	62,23
-16	2,65	5	33,91
-15	2,96	6	21,74
-14	3,48	7	15,26
-13	4,06	8	11,35
-12	4,79	9	8,79
-11	5,75	10	7,02
-10	7,02	11	5,75
-9	8,79	12	4,79
-8	11,35	13	4,06
-7	15,26	14	3,48
-6	21,74	15	2,96
-5	33,91	16	2,65
-4	62,23	17	2,34
-3	171,7	18	2,08
-2	835,8	19	1,87
-1	277,17	20	1,68
0	1741,79		

Tabella 16: Andamento del campo magnetico in funzione della distanza dall'asse dei conduttori in forma tabellare - Sbarre AT stazione elettrica 30/150 kV - Valutazione della Distanza di prima Approssimazione.

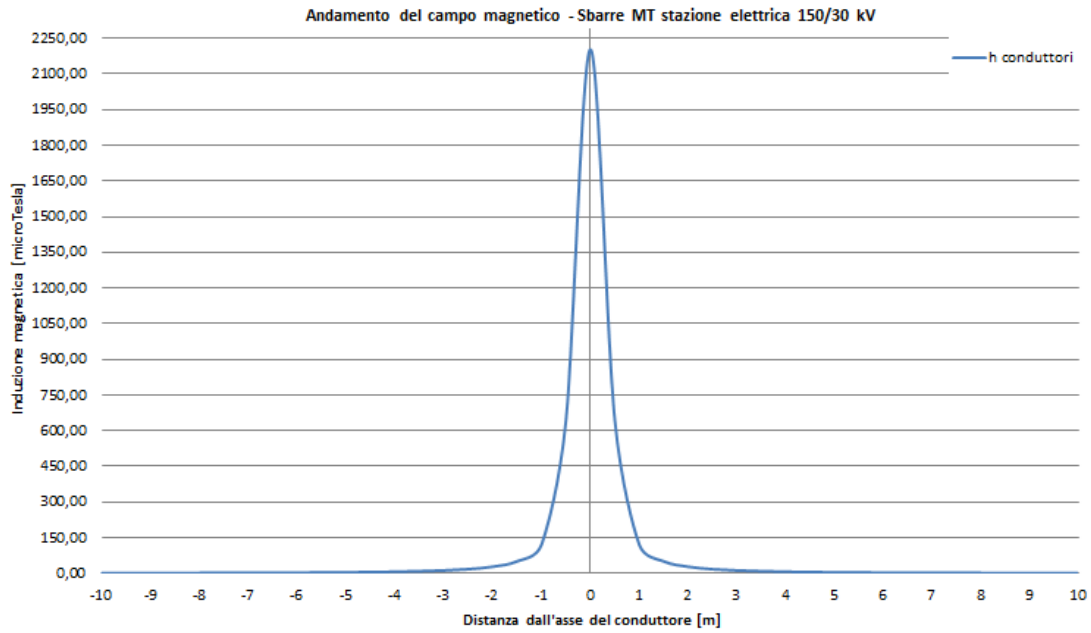


Figura 13: Andamento del campo magnetico in funzione della distanza dall'asse dei conduttori in forma grafica - Sbarre MT stazione elettrica 30/150 kV - Valutazione della Distanza di prima Approssimazione.

<i>Distanza dall'asse [m]</i>	<i>Valori di campo magnetico [μT]</i>
	<i>Altezza conduttori</i>
-10,00	1,10
-9,00	1,36
-8,00	1,72
-7,00	2,25
-6,00	3,07
-5,00	4,42
-4,00	6,93
-3,00	12,37
-2,00	28,20
-1,00	121,25
0,00	2203,17
1,00	121,25
2,00	28,20
3,00	12,37
4,00	6,93
5,00	4,42
6,00	3,07
7,00	2,25
8,00	1,72
9,00	1,36
10,00	1,10

Tabella 17: Andamento del campo magnetico in funzione della distanza dall'asse dei conduttori in forma tabellare – Sbarre MT stazione elettrica 150/30 kV - Valutazione della Distanza di prima Approssimazione.

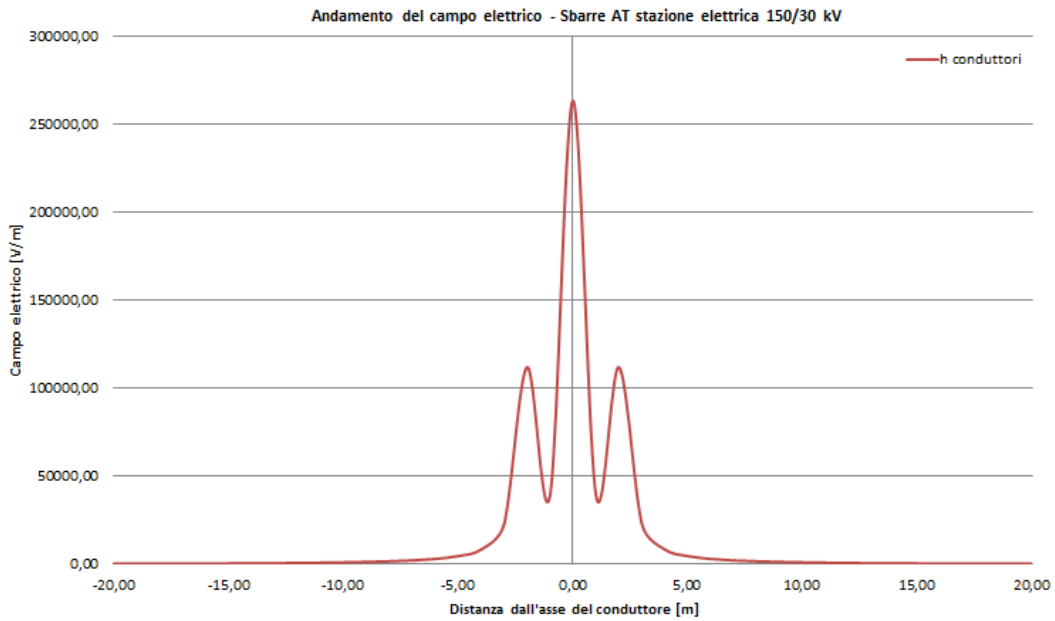


Figura 14: Andamento del campo elettrico in forma grafica - Sbarre AT stazione elettrica 30/150 kV.

Distanza dall'asse [m]	Valori di campo elettrico [V/m]
	Altezza conduttori
0	263460,50
1	39261,50
2	112013,90
3	22797,40
4	8360,50
5	4645,20
6	3040,60
7	2173,40
8	1640,30
9	1283,90
10	1031,40
11	844,70
12	702,40
13	591,20
14	502,60
15	431,10
16	372,50
17	324,00
18	283,60
19	249,50
20	220,70

Tabella 18: Andamento del campo elettrico in forma tabellare –
Sbarre AT stazione elettrica 150/30 kV.

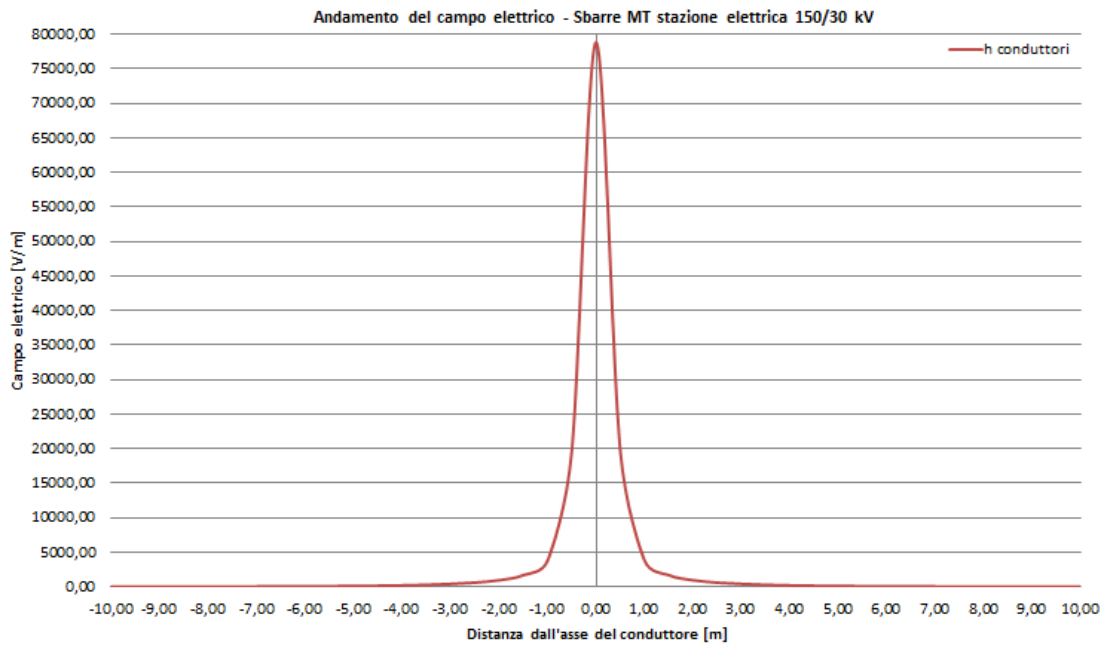


Figura 15: Andamento del campo elettrico in forma grafica - Cabina MT in stazione elettrica 30/150 kV.

<i>Distanza dall'asse [m]</i>	<i>Valori di campo magnetico [μT]</i>
	<i>Altezza conduttori</i>
0,00	78925,50
0,50	19701,50
1,00	3846,20
1,50	1714,70
2,00	983,20
2,50	632,90
3,00	435,50
3,50	313,50
4,00	233,60
4,50	178,90
5,00	140,20
5,50	112,10
6,00	91,20
6,50	75,40
7,00	63,10
7,50	53,50
8,00	45,80
8,50	39,70
9,00	34,60
9,50	30,40
10,00	27,00

**Tabella 19: Andamento del campo elettrico in forma tabellare –
Cabina MT in stazione elettrica 30/150 kV.**

Come si evince dalla simulazione del calcolo, dalle figure 12 e 13 e dalle relative tabelle, sia i valori di campo magnetico ad altezza conduttori sia quelli ad 1 m dal suolo restano al di sotto dei 3 μ T ad

una distanza di circa 15 m dall'asse delle sbarre in AT e 7 m circa dal confine della cabina MT della stazione 30/150 kV.

Riguardo al campo elettrico, dai risultati delle simulazioni (figure 14 e 15 e relative tabelle), si ottengono valori di intensità inferiore ai limiti di 5000 V/m imposti dalla normativa a soli 5 m dalle sbarre in AT ed 1 m da quelle in MT.

10. CONCLUSIONI

La determinazione delle DPA è stata effettuata in accordo al D.M. del 29/05/2008 riportando per ogni opera elettrica la summenzionata DPA. Dalle analisi, i cui risultati sono riassunti nei grafici e tabelle riportati nei paragrafi precedenti si può desumere quanto segue:

- Per i cavidotti in media tensione del parco eolico sia per il cavidotto interno che per il cavidotto esterno la distanza di prima approssimazione non eccede il range di ± 2 m rispetto all'asse del cavidotto, ad eccezione del tratto S11 in cui la DPA è di 3 m, per una lunghezza di ca. 400 m;
- Per la stazione elettrica 30/150 kV, la distanza di prima approssimazione è stata valutata in ± 15 m per le sbarre in alta tensione (150 kV) e 7 m per le sbarre in media tensione (30 kV) della cabina utente. La DPA per le sbarre AT ricade in gran parte all'interno dell'area di sottostazione, mentre la DPA per le sbarre MT ricade in gran parte all'interno del fabbricato.

I valori di campo elettrico risultano rispettare i valori imposti dalla norma (<5000 V/m) in quanto le aree con valori superiori ricadono all'interno delle cabine MT il cui accesso è consentito al solo personale autorizzato.

All'interno delle aree summenzionate delimitate dalle DPA non risultano recettori sensibili ovvero aree di gioco per l'infanzia, ambienti abitativi, ambienti scolastici, luoghi adibiti a permanenza di persone per più di quattro ore giornaliere.

Si può quindi concludere che la realizzazione delle opere elettriche relative alla realizzazione dell'impianto eolico rispetta la normativa vigente.